地盤改良材としてのゴミ焼却灰焼成固化材の適用性について

 法政大学
 正会員
 草深
 守人

 法政大学
 正会員
 竹内
 則雄

 法政大学
 南崎
 慎輔

1.まえがき

地下水位の高い緩い砂地盤の液状化を防止するため、これまでに様々な技術の開発が行われてきた。その中でもセメント等の固化材を用いた地盤改良は確実性から最も有効な方法である。しかし、現実には全体の工事費に占める改良コストが高すぎること、均質な改良が困難であるなどの問題があった。

液状化防止技術を中心に、環境問題の一つであるゴミ焼却灰の有効活用としてのリサイクル技術にも着目し、これらの問題点の改善策について検討した。

2. 実験方法

本実験で使用する固化材料は、高炉セメントと焼成灰の混合割合がWc/Wac = 100、50、40、30、20%のArc-Solid(商品名)である。固化材の配合は、砂の質量と固化材に含まれるセメントの質量の割合を基本として表1のとおりとした。これらの供試体に対して1軸、3軸圧縮試験および弾塑性損傷解析を実施し、Arc-Solidによる改良効果について考察した。なおArc-Solidは焼成灰の配合量を自由に選定できることから、必要強度を満たす範囲でセメント量を最小限におさえ、焼成灰の配合量を増加させることにより混合撹拌時の改良土の流動性を確保する。

3.試験結果と考察

図 1 は応力 - ひずみ曲線の実験例を示したものである。これらの実験値に基づく最大応力 - セメント比関係を図 2 に示す。図 2 より最も大きな強度は固化材配合 Wc/Wac=40%、改良体配合 Wc/Ws=10%で発現し、 $4.76 \, \text{N/mm}^2$ で あ り 、逆 に 最 も 小 さ い 強 度 は

表1.配合表

Wc/Ws(%)	4	6	8	10
Wc/Wac(%)	Wac/Ws(%)			
100	4.0	6.0	8.0	10.0
50	8.0	12.0	16.0	20.0
40	10.0	15.0	20.0	25.0
30	13.3	20.0	26.7	33.3
20	20.0	30.0	40.0	50.0

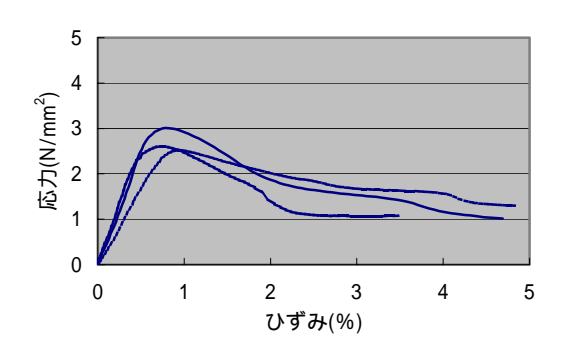


図1 試験結果の比較例

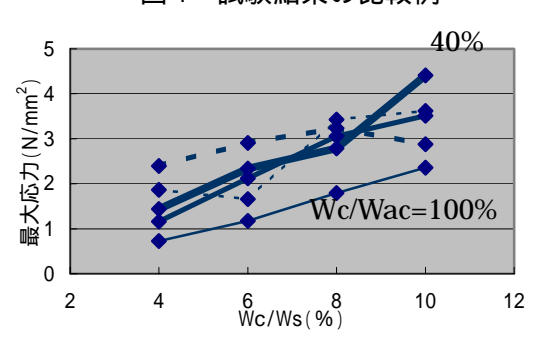


図2.最大応力とWc/Wsの関係

Wc/Wac=100%、Wc/Ws=10%で 2.24N/mm² と前者に比べて半減した。明らかに、焼成灰の添加は強度増加に寄与するが、必ずしもその配合量に比例して上がるわけではなく、多量に添加した場合はむしろ強度低下につながる。標準砂を用いた本実験の範囲では Wc/Wac=40%前後の配合で強度の発現が最も

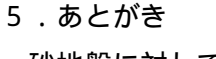
キーワード:焼却灰、地盤改良、液状化、三軸試験、損傷解析

連絡先 : 法政大学 環境地盤研究室 〒184-8584 東京都小金井市梶野町 3-7-2 : 0423-87-6288

大きいようである。焼成灰はそれ自身では強度の発現 はないが、適度な配合でセメントと混合することによ って純粋にセメントのみを用いる場合よりも大きな強 度が得られる。これはセメントのみを用いる場合、細 粒分をほとんど含まない砂地盤に少量のセメントを混 合しても、砂粒子間の接合に十分な量のセメント粒子 が均質にゆきわたらないことによるものと解釈される。 一方、セメントに適度な量の増量材としての焼成灰を 加えることにより、セメント粒子の分散を助け、かつ 砂粒子間の接合に必要な結合層を形成できることに よるものと考える。

4.損傷解析結果

解析に使用した弾性係数や降伏ひずみは試験結果 より評価したものであることから、本来的には解析 値は試験値を近似できるはずである。しかしながら、 図6に示した解析値と試験値の比較例のように、解 析結果は全体的に初期合成が低いこと、降伏ひずみ が大きいことに加えて、ひずみ軟化が急速に進行し 残留強度を維持できない結果となっている。これは、損傷の進展則のモデル化(特に散逸エネルギー) によるものと考えられ、今後の検討を必要としている。



砂地盤に対して単純に強度のみを改善するのであれ ば、Wc/Wac を適度に低く設定し、Wc/Ws のみを大き くする方向で配合設計をすればよいことととなる。一 方、強度と変形抵抗の両者を改善する必要がある場合 は、Wc/Wac と Wc/Ws ともに大きくすると共に、両 配合の最適な組み合わせを試験練りにより選定する必 要がある。

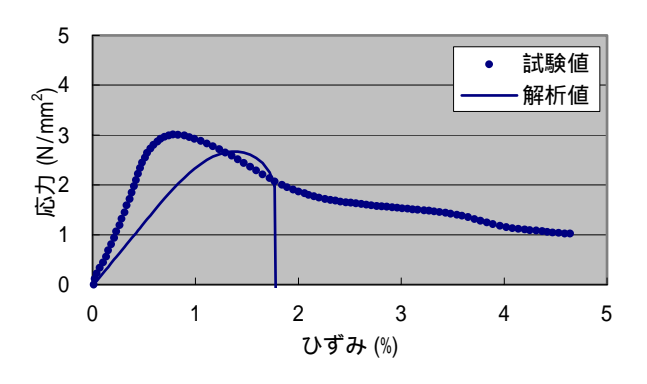


図6.試験値と解析値の比較

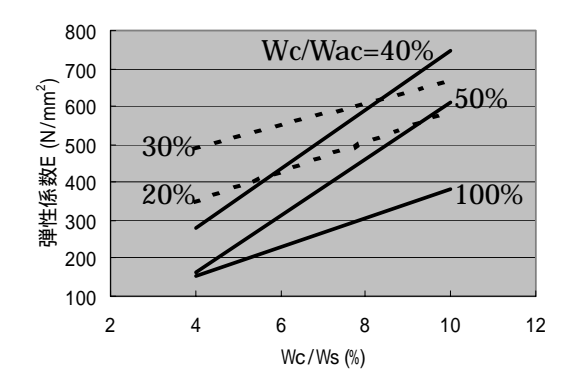


図3.弾性係数とWc/Wsの関係

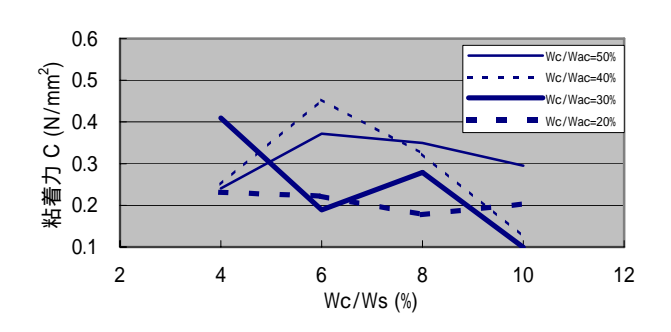


図4.粘着力とWc/Wsの関係

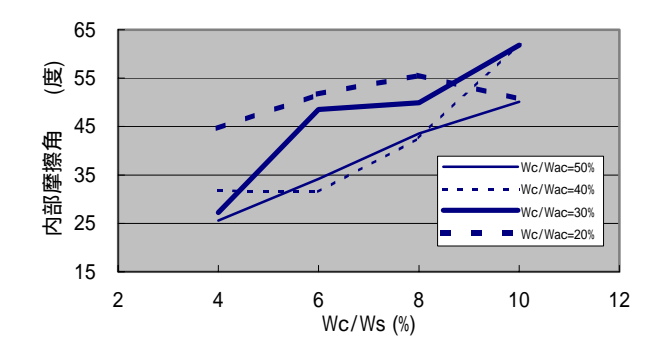


図5.内部摩擦角とWc/Wsの関係

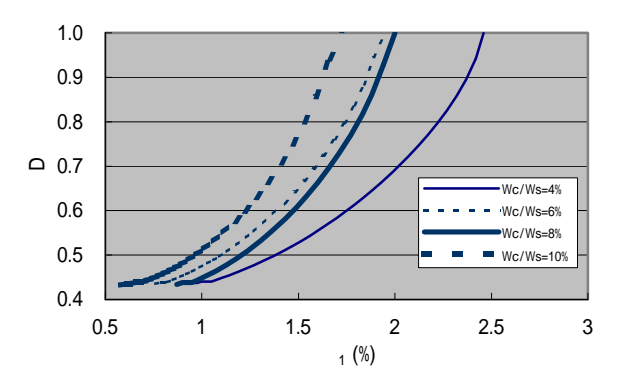


図7.損傷量 D - ひずみ